

# Формализм псевдокумулянтов для описания динамики отклонений от распределения Лоренца в задачах статистической физики

**Д.С. Голдобин**

Институт механики сплошных сред УрО РАН, Пермь

Пермский государственный национальный исследовательский университет, Пермь

**Фин.: бюджетная тема № 121112200078-7**

Научная сессия Совета РАН по нелинейной динамике, Москва — 19.12.2022

# Распределение Лоренца

## Распределение Лоренца: примеры

- Примеры

- Lamb, *Theory of an Optical Maser*, Phys. Rev. **134**, A1429 (1964)
- Использование теоремы о вычетах

$$L(y) = \frac{\pi^{-1} \Delta}{\Delta^2 + (y - y_0)^2}$$

$$f(z(y), y | Z) = 0, \quad Z = \int L(y) z(y) dy = z(y_0 \pm i\Delta)$$

$$f(z(y_0 \pm i\Delta), y_0 \pm i\Delta | z(y_0 \pm i\Delta)) = 0$$

Якубович, *О динамике процессов в средах с неоднородным уширением линии рабочего вещества*, ЖЭТФ **55**, 304 (1968)

# Распределение Лоренца

## Распределение Лоренца: примеры

$$L(y) = \frac{\pi^{-1} \Delta}{\Delta^2 + (y - y_0)^2}$$

- Примеры

- Lamb, *Theory of an Optical Maser*, Phys. Rev. **134**, A1429 (1964)

- Использование теоремы о вычетах

*Якубович, О динамике процессов в средах с неоднородным уширением линии рабочего вещества, ЖЭТФ 55, 304 (1968)*

- Локализация Андерсона

- Модель Ллойда в 3D (Р.Л. для неоднородности потенциала)

*Lloyd, Exactly solvable model of electronic states in a three-dimensional disordered Hamiltonian: non-existence of localized states, J. Phys. C: Solid State Phys. 2, 1717 (1969)*

- Ott–Antonsen theory [Chaos **18**, 037113 (2008); **19**, 023117 (2009)]

$$w_{wL}(\varphi) = \sum_{n=-\infty}^{+\infty} \frac{\pi^{-1} \Delta}{\Delta^2 + (\varphi - \varphi_0 - 2n\pi)^2} = \frac{1}{2\pi} \frac{1 - e^{-2\Delta}}{1 - e^{-\Delta} \cos(\varphi - \varphi_0)}$$

+ Montbrió, Pazó, Roxin, Phys. Rev. X **5**, 021028 (2015)

псевдокумулянты & нелоренцево распределение

# “Проблемы” с распределением Лоренца

- Моменты (и кумулянты) расходятся  $\langle y^{n \geq 1} \rangle = \infty$

**Характеристическая функция:**

$$F(k) = \langle e^{ikV} \rangle = \sum_{n=0}^{\infty} M_n \frac{(ik)^n}{n!}, \quad M_n \equiv \langle V^n \rangle$$

$\ln(\text{характ. ф-ция}) = \text{генерирующая ф-ция кумулянтов}$

$$\Phi(k) = \ln F(k) = \sum_{n=1}^{\infty} K_n \frac{(ik)^n}{n!}$$

“кумулянты”:

$$K_1 = \langle V \rangle, \quad K_2 = \langle V^2 \rangle - \langle V \rangle^2, \quad K_n = \langle V^n \rangle - \sum_{m=1}^{n-1} \frac{(n-1)!}{(m-1)!(n-m)!} \langle V^m \rangle K_{n-m}$$

$$\text{independent } x, y: F_{x+y}(k) = \langle e^{ik(x+y)} \rangle = \langle e^{ikx} \rangle \langle e^{iky} \rangle = F_x(k) F_y(k)$$

$$\ln F_{x+y}(k) = \ln F_x(k) + \ln F_y(k) \Rightarrow K_{x+y,n} = K_{x,n} + K_{y,n}$$

## Характеристическая ф-ция для Р.Л.

$$F(k) = \sum_{n=0}^{\infty} M_n \frac{(ik)^n}{n!}, \quad M_n \equiv \langle V^n \rangle$$

$$\text{P.V.} \int_{-\infty}^{+\infty} e^{ikV} \frac{\pi^{-1} a dV}{a^2 + (V - v)^2} = e^{ikv - a|k|}$$

$$\Phi(k) = \ln F(k) = \sum_{n=1}^{\infty} K_n \frac{(ik)^n}{n!}$$

$$\Phi(k) = ivk - a |k|$$

# Характеристическая $\Phi$ -ция и псевдокумулянты

$$\Phi_{\text{LD}}(k) = ivk - a |k| \qquad w_{\text{LD}}(V) = \frac{\pi^{-1}a}{a^2 + (V - v)^2}$$

$$\Phi(k) = \ln \langle e^{ikV} \rangle \quad \Rightarrow \quad \Phi(-k) = \Phi^*(k)$$

$$\Phi(k) = -(a \operatorname{sign}(k) - iv)k - (q_2 + ip_2 \operatorname{sign}(k)) \frac{k^2}{2} - \\ - (q_3 \operatorname{sign}(k) + ip_3) \frac{k^3}{3} - \dots$$

«Псевдокумулянты» (“pseudocumulants”)  $W_n$ :

$$W_1 \equiv a - iv, \quad W_n \equiv q_n + ip_n$$

# Геометрический смысл

$$\Phi = -(a \operatorname{sign}(k) - iv)k - (q_2 + ip_2 \operatorname{sign}(k))\frac{k^2}{2} - (q_3 \operatorname{sign}(k) + ip_3)\frac{k^3}{3} - \dots$$

$$\Phi(k) = \ln \langle e^{ikV} \rangle \quad \Rightarrow \quad \Phi(-k) = \Phi^*(k)$$

$a$ : *width* of the “Lorentzian” part of the distrib, for QIFs is always **firing rate**;

$v$ : always “*P.V. mean*” of the distribution;

$q_2$ : an analogue of *kurtosis* for Gaussian;

$p_2$ : an analogue of *skewness* for Gaussian.

$$w_{\text{LD}}(V) = \frac{\pi^{-1}a}{a^2 + (V - v)^2}$$

$$w(V, t) = \left( 1 + \frac{q_2(t)}{2} \frac{\partial^2}{\partial V^2} - \frac{p_2(t)}{2} \frac{\partial^2}{\partial V \partial a} + \dots \right) w_{\text{LD}}(V, t)$$

Геометрический смысл:

обычные кумулянты vs «псевдокумулянты»

$$\Phi = -(a \operatorname{sign}(k) - iv)k - (q_2 + ip_2 \operatorname{sign}(k)) \frac{k^2}{2} - (q_3 \operatorname{sign}(k) + ip_3) \frac{k^3}{3} - \dots$$

$$F(k) = \langle e^{ikV} \rangle = \sum_{n=0}^{\infty} M_n \frac{(ik)^n}{n!}, \quad M_n \equiv \langle V^n \rangle$$

$$w_{V \rightarrow \infty} < \frac{C}{V^{1+\alpha}},$$

$$\langle V^n \rangle: \int^{+\infty} V^n w(V) dV \propto \int^{+\infty} \frac{dV}{V^{1+\alpha-n}} \propto \frac{1}{V^{\alpha-n}} \Big|^{+\infty}$$

Если  $\langle V^n \rangle$  ( $n < \alpha$ ) существуют, то  $p_n = 0$  для чётных  $n$ ,  
 $q_n = 0$  для нечёт.  $n$ ;

все младшие элементы соответствуют «обычным» моментам/кумулянтам



# Квадратичные нейроны–пороговые интеграторы (quadratic integrate-and-fire neurons, QIFs)

Популяция  $N$  синаптически связанных QIF:

$$\begin{aligned} \dot{V}_j &= V_j^2 + I_j, & I_j &= I_0(t) + \eta_j + \sigma \xi_j(t), \\ \langle \xi_j(t) \xi_n(t') \rangle &= 2\delta_{jn} \delta(t-t'), & g(\eta) &= \frac{\Delta}{\pi[\Delta^2 + (\eta - \eta_0)^2]}, \\ I_0(t) &= I(t) + Js(t). \end{aligned}$$

Термодинамический предел бесконечного  $N$ :  $s(t) = r(t)$  – средняя по ансамблю частота генерации импульсов

$\eta$ -подансамбль:

$$I_\eta = I(t) + \eta + Jr(t)$$

# Квадратичные нейроны–пороговые интеграторы

$$\dot{V}_j = V_j^2 + I_j, \quad I_j = I_0(t) + \eta_j + \sigma \xi_j(t)$$
$$I_\eta(t) = I(t) + \eta + Jr(t)$$

$$F_{\text{LD}}(k) = e^{ikv - a|k|}, \quad \Phi_{\text{LD}}(k) = ivk - a|k| \quad F(k) = e^{\Phi(k)}$$

$$\partial_t \Phi = ik \left[ I_0 - \partial_k^2 \Phi - (\partial_k \Phi)^2 \right] - |k| \Delta - \sigma^2 k^2$$

$$\sigma = 0: \Phi = ikv - a|k|,$$

$$\dot{v} = I_0 + a^2 - v^2, \quad \dot{a} = 2av + \Delta, \quad r = \frac{a}{\pi}$$

E. Montbrio, D. Pazo, A. Roxin, *Macroscopic description for networks of spiking neurons*, Phys. Rev. X **5**, 021028 (2015)

# Квадратичные нейроны–пороговые интеграторы

$$\dot{V}_j = V_j^2 + I_j, \quad I_j = I_0(t) + \eta_j + \sigma \xi_j(t)$$

$$I_\eta(t) = I(t) + \eta + Jr(t)$$

$$\partial_t \Phi = ik \left[ I_0 - \partial_k^2 \Phi - (\partial_k \Phi)^2 \right] - |k| \Delta - \sigma^2 k^2$$

$$\begin{aligned} \Phi = & -(a \operatorname{sign}(k) - iv)k - (q_2 + ip_2 \operatorname{sign}(k)) \frac{k^2}{2} \\ & - (q_3 \operatorname{sign}(k) + ip_3) \frac{k^3}{3} - \dots \end{aligned}$$

«Псевдокумулянты» (“pseudocumulants”)  $W_n$ :

$$W_1 \equiv a - iv, \quad W_n \equiv q_n + ip_n$$

$$\dot{W}_m = (\Delta - iI_0) \delta_{1m} + 2\sigma^2 \delta_{2m} + im \left( -m W_{m+1} + \sum_{n=1}^m W_n W_{m+1-n} \right)$$

# Псевдокумулянты & преобразование Фенхеля (Legendre–Fenchel transform)

$$F(\mathbf{k}) = \langle e^{i\mathbf{k}V} \rangle$$

$$F(H) = \langle e^{S_z H} \rangle$$

A. Vasiliev, *Functional Methods in Quantum Field Theory and Statistical Physics*, (London: Gordon and Breach, 1998)

Tobias Kühn, Moritz Helias, *Expansion of the effective action around non-Gaussian theories*, J. Phys. A: Math. Theor. **51**, 459502 (2018)

Moritz Helias, David Dahmen, *Statistical Field Theory for Neural Networks*, Lecture Notes in Physics, vol. 970 (2020)

$$\dot{V}_j = V_j^2 + I_j, \quad I_j = I_0(t) + \eta_j + \sigma \xi_j(t)$$

$$I_\eta(t) = I(t) + \eta + Jr(t)$$

## Примеры

E. Montbrió, D. Pazo, A. Roxin, *Macroscopic description for networks of spiking neurons*, Phys. Rev. X **5**, 021028 (2015) + **внутренний шум**

$$\dot{r} = \Delta / \pi + 2rv + p_2 / \pi,$$

$$\dot{v} = I_0 - \pi^2 r^2 + v^2 + q_2,$$

$$\dot{q}_2 = 2\sigma^2 + 4(p_3 + q_2 v - \pi p_2 r),$$

$$\dot{p}_2 = 4(-q_3 + \pi q_2 r + p_2 v).$$

I. Ratas, K. Pyragas, *Noise-induced macroscopic oscillations in a network of synaptically coupled quadratic integrate-and-fire neurons*, Phys. Rev. E **100**, 052211 (2019)

MPR модель + шум + конечная продолжительность синапт. импульса

$$S = V_{\text{th}} \int_{V_{\text{th}}}^{+\infty} w(V, t) dV = V_{\text{th}} \left( \frac{1}{2} - \frac{1}{\pi} \arctan \frac{V_{\text{th}} - v}{a} + \frac{q_2 a (V_{\text{th}} - v) + p_2 [(V_{\text{th}} - v)^2 - a^2] / 2}{\pi [a^2 + (V_{\text{th}} - v)^2]^2} \right)$$

$$\dot{V}_j = V_j^2 + I_j, \quad I_j = I_0(t) + \eta_j + \sigma \xi_j(t)$$

$$I_\eta(t) = I(t) + \eta + Jr(t)$$

## Примеры

M. di Volo, A. Torcini, *Transition from Asynchronous to Oscillatory Dynamics in Balanced Spiking Networks with Instantaneous Synapses*, Phys. Rev. Lett. **121**, 128301 (2018)

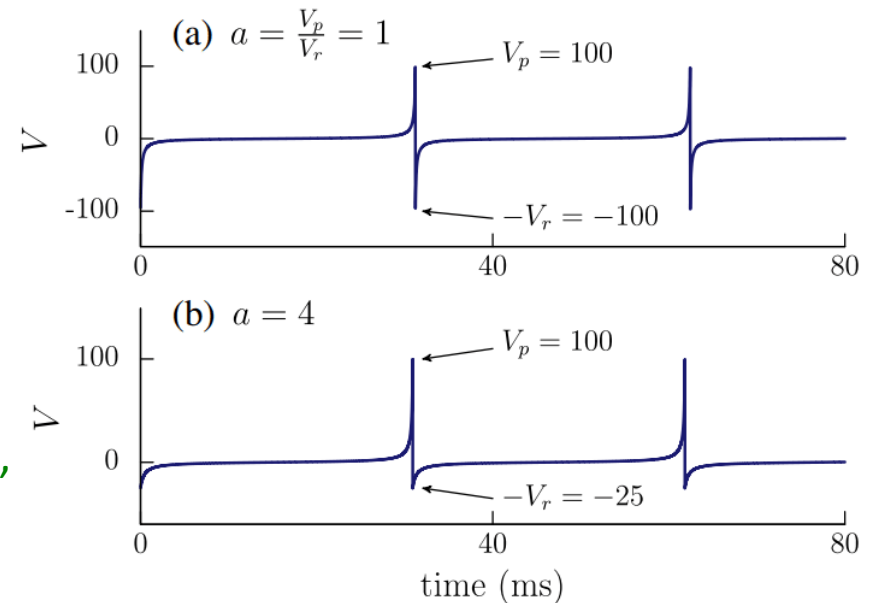
$$\dot{r} = \left( \frac{g_0 \Delta_0}{\pi} + 2v \right) r + \frac{p_2}{\pi},$$

$$\dot{v} = \sqrt{K} (I_0 - g_0 r) - \pi^2 r^2 + v^2 + q_2,$$

$$\dot{q}_2 = g_0^2 r + 4(q_2 v - \pi p_2 r),$$

$$\dot{p}_2 = -\frac{g_0^2 \Delta_0}{\sqrt{K}} r + 4(\pi q_2 r + p_2 v).$$

E. Montbrió, D. Pazó, *Exact Mean-Field Theory Explains the Dual Role of Electrical Synapses in Collective Synchronization*, Phys. Rev. Lett. **125**, 248101 (2020) + шум



$$\dot{V}_j = V_j^2 + I_j, \quad I_j = I_0(t) + \eta_j + \sigma \xi_j(t)$$

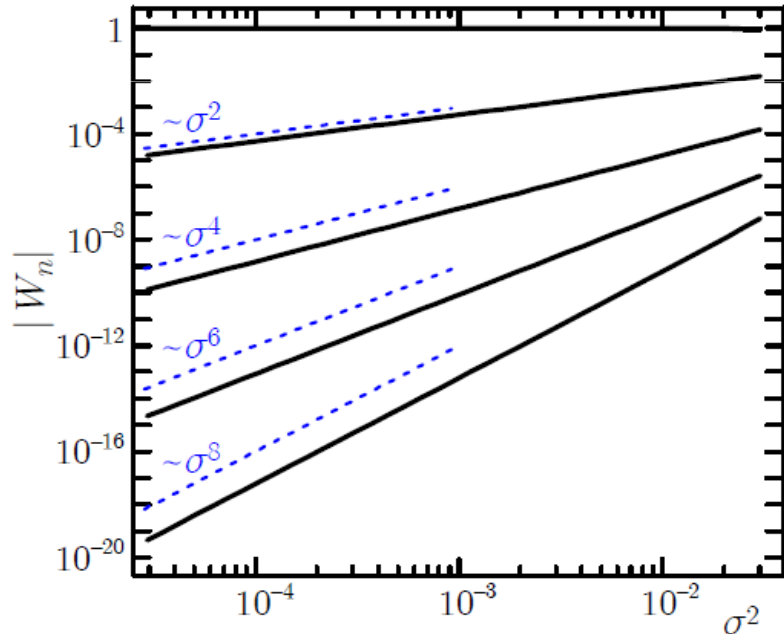
$$I_\eta(t) = I(t) + \eta + Jr(t)$$

## Сходимость и обрывание

$$\dot{W}_m = (\Delta - iI_0)\delta_{1m} + 2\sigma^2\delta_{2m} + im \left( -m W_{m+1} + \sum_{n=1}^m W_n W_{m+1-n} \right)$$

При ненулевой гетерогенности и “вблизи” стационарных состояний:

$$W_m \sim \sigma^{2(m-1)}$$



$I_0 = 0.1, \eta_0 = -1, J_0 = 1, \Delta_\eta = 0.1$  and  $\Delta_J = 0.1$ .

$$\dot{V}_j = V_j^2 + I_j, \quad I_j = I_0(t) + \eta_j + \sigma \xi_j(t)$$

# Моделирование больших (конечных) сетей

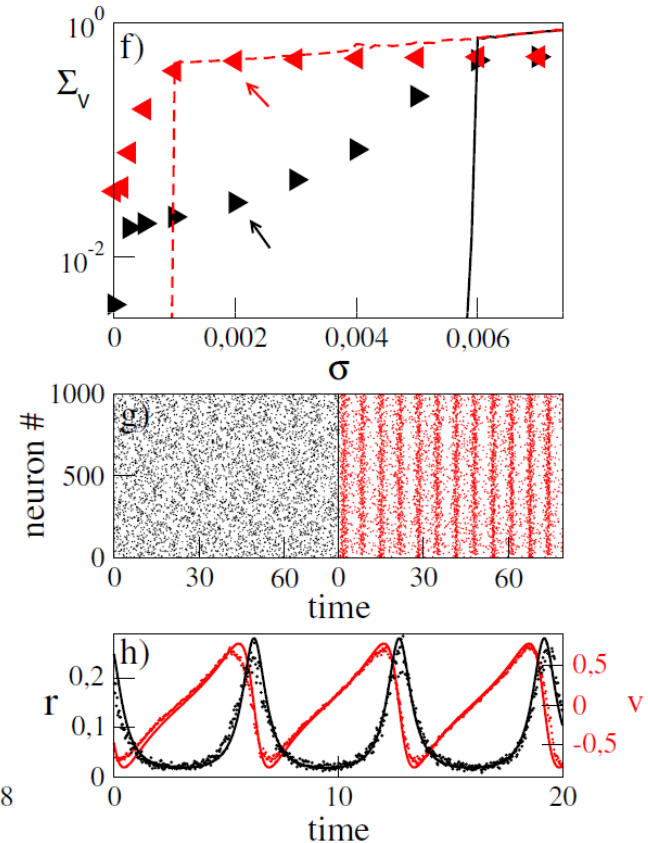
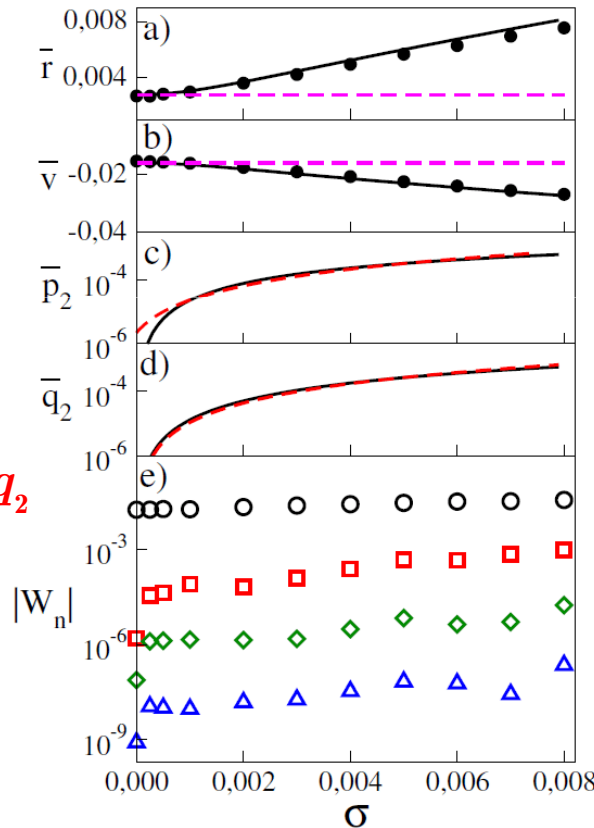
M. di Volo, A. Torcini, *Transition from Asynchronous to Oscillatory Dynamics in Balanced Spiking Networks with Instantaneous Synapses*, Phys. Rev. Lett. **121**, 128301 (2018)

$$\dot{r} = \left( \frac{g_0 \Delta_0}{\pi} + 2v \right) r + \frac{p_2}{\pi}$$

$$\dot{v} = \sqrt{K} (I_0 - g_0 r) - \pi^2 r^2 + v^2 + q_2$$

$$\dot{q}_2 = g_0^2 r + 2\sigma^2 + 4(q_2 v - \pi p_2 r)$$

$$\dot{p}_2 = -\frac{g_0^2 \Delta_0}{\sqrt{K}} r + 4(\pi q_2 r + p_2 v)$$





## Заключение

- Формализм “*псевдокумулянтов*” (на основе характеристических ф-ций) может быть введен для работы с возмущенным р. Лоренца
- Формализм дает (в общем случае) бесконечную сходящуюся цепочку среднеполевых уравнений, которая может быть оборвана
- Маломодовые среднеполевые модели могут быть получены для макроскопической динамики ансамблей QIFs
- В частности, устойчивость многообразий Ott-Antonsen или Montbriou-Pazo-Roxin может быть исследована в рамках маломодовых моделей
- Маломодовые модели хорошо воспроизводят динамику конечных сетей

*All science ... has a twofold value ... There is its value as science, which is generally deemed to be its intrinsic, main worth, but which is, however, only of secondary importance ; and there is its value as a kind of moral and intellectual gymnastics ... and this is its primary importance.*

Christian Morgenstern, 1910, *Aphorismen, Sprüche und andere Aufzeichnungen* (Munich and Zurich 1979 : R. Piper & Co.).

